

気泡混入噴流の拡散について

東北大学工学部 正員 坂本 龍雄
大院学生員 鈴木 英世
東北大学 橋 真琴

1 まえがき

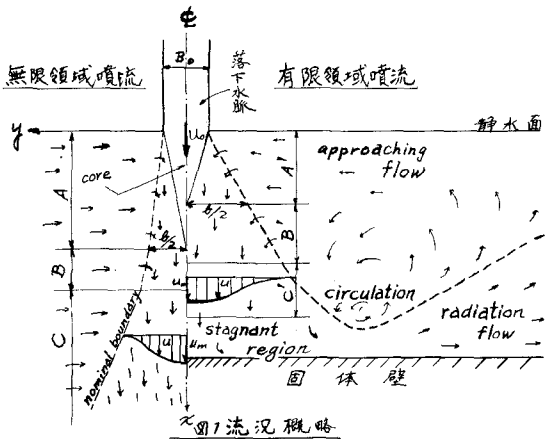
アーチダムの塩水吐から自由落下した水脈は多量の気泡を伴なつて水柱シジョンに突入する。気泡混入した噴流は周囲流体よりも平均密度が小さい為に一種の重力噴流と見なして安芸によつて解析が行はれてゐる¹⁾。気泡混入噴流については我々は先に行はつた実験において主流方向の速度プロファイルの無次元表示が幾何学的に相似でありほつとくのようなガウス分布で表わすことができるを見出した。

$$u/u_m = \exp\{-K(y/x)^2\} \quad (1)$$

ここに K : 定数 u, u_m, x, y : 図1 参照
また周囲流体と密度の異なる流体の噴流内の密度分布について一般に用いられてる次のようないずれ

$$\rho - \rho_s / \rho_m - \rho_s = \exp\{-\mu K(y/x)^2\} \quad (2) \quad \mu: \text{定数}$$

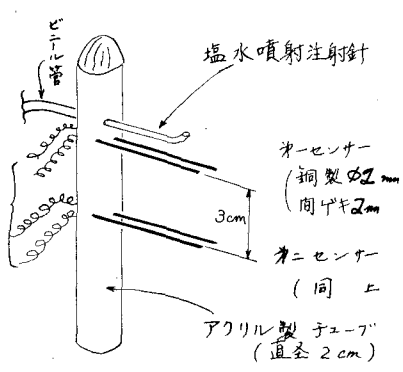
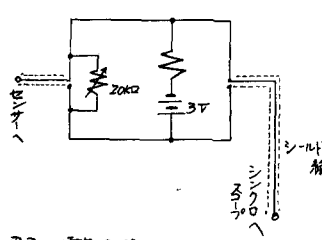
が気泡混入噴流にも適用できると考えて、連続方程式や運動量方程式に代入し解析を行はつてきた。²⁾



本論文では塩水を用いて噴流の速度を測定し、その時間的変動を用いて乱流拡散係数を見積りこれを乱流拡散方程式に適用することによって密度欠損プロファイルを算出し、式(2)による仮定との比較、実験値との比較を行はう。

2 塩水法流速測定とその結果

噴流の主流部のように速度の変動が大きい流れの時間平均値を得るにはピトー管は優れた方法であるが変動成分を測定するには適さない。ここでは塩水法により瞬間流速を得ようとした。装置の概略を図3に示す。淡水中でのセンサーの電気抵抗に比べ塩水がセンサーを通して流れる際の抵抗減少を利用して、第一・第二センサーで受けた発生信号の時間差をシンクロスコープに写し出して写真撮影をして、これを読み取った。塩水の噴射は一回の噴射が約0.05cc.となるよう注意深く指で押しだした。ピークが明瞭に表められないようなものは二信号に相互相関を仮定して相関係数によって時間差を判断した。



測定は気泡の混入せぬ二次元噴流を行なつた。
1スクロール法は $1\text{cm} \times 50\text{cm}$ とし、流量は 16.5 %
とした。各測定点につき約 120 回ずつ流速データ
を集めめた。これにより平均流速を算出したものが
は別途行はれたピトー管、壁により得た流速よりも
小さかつた。塩水法による速度変動頻度ヒストグラムの一例を図 4 に示す。速度変動成分について
まとめた結果を表 1 に示す。これらによると塩
水法による流速測定の為の収集データ数がや
く不足である為か結果の不確いが免れはしないよう
である。図 5 では乱れの強さについてまとめた結果
を三次元空気噴流の熱線風速計による Corrsin
等の実験値と比較してみた。オーダーとしては
近似していることが判らるべ、今回用いた塩水法
センサーの構造が低速域の乱れの測定に不向き
なり。今の大さい場所では傾向が類似していない。

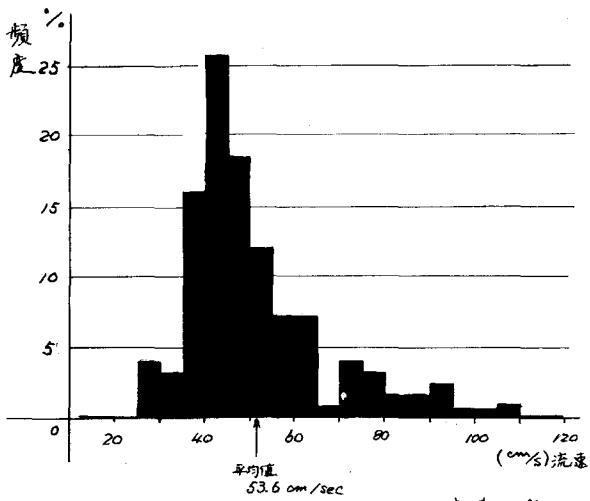


図 4 $x=30\text{cm}$, $y=0\text{cm}$ における流速分布

表 1 塩水法による測定値

測点, cm	項目	\bar{U} cm/sec	$\sqrt{\bar{U}^2}$	$1/\bar{U}$	$\sqrt{\bar{U}^2}/\bar{U}$
$x=10$	$y=0$	91.67	31.30	0.287	0.341
	20	71.37	22.77	0.238	0.319
	30	62.10	20.34	0.242	0.328
	40	52.10	12.24	0.211	0.235
$x=30$	$y=0$	53.65	21.47	0.399	0.399
	2	61.84	22.89	0.370	0.427
	4	49.64	12.11	0.244	0.226
	6	45.91	11.54	0.251	0.215

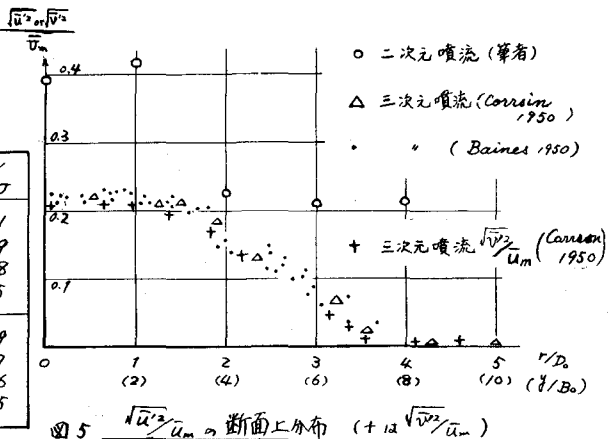


図 5 $\sqrt{\bar{U}^2}/\bar{U}_m$ の断面上分布 ($\pm \sqrt{\bar{U}^2}/\bar{U}_m$)

3 扰散方程式の適用とその差分解

Fick の分子拡散方程式は次の式で表わされる。

$$\frac{\partial C}{\partial t} + U \frac{\partial C}{\partial x} + V \frac{\partial C}{\partial y} = \frac{\partial}{\partial x} (D_x \frac{\partial C}{\partial x}) + \frac{\partial}{\partial y} (D_y \frac{\partial C}{\partial y}) \quad (3) \quad \left\{ \begin{array}{l} D_x: \text{分子拡散係数} \\ C: \text{瞬間濃度} \end{array} \right.$$

C , U , V には時間的な変動があるるので $C = \bar{C} + c'$, $U = \bar{U} + u'$, $V = \bar{V} + v'$ とおき代入して時間平均すれば

$$\frac{\partial \bar{C}}{\partial t} + \bar{U} \frac{\partial \bar{C}}{\partial x} + \bar{V} \frac{\partial \bar{C}}{\partial y} = \frac{\partial}{\partial x} (D_x \frac{\partial \bar{C}}{\partial x} - \bar{U} c') + \frac{\partial}{\partial y} (D_y \frac{\partial \bar{C}}{\partial y} - \bar{V} c') \quad (4)$$

今考えるべき噴流内の拡散では $\bar{C} \approx 0$ 又分子拡散項を無視し 定常運動を考え $\frac{\partial \bar{C}}{\partial t} = 0$ として良い。又移流項 $\bar{U} \frac{\partial \bar{C}}{\partial x}$ に比べ $-\frac{\partial}{\partial x} (\bar{U} c')$ は中心軸上勾配の小さいことから無視される。乱流輸送理論(例えば Hinge "Turbulence" 1959 P.417)によれば $-\bar{V} c' = K_y \frac{\partial \bar{C}}{\partial y}$ なので結局次式を検討すれば \bar{C} のプロファイルが得られる事になる。

$$\bar{U} \frac{\partial \bar{C}}{\partial x} = \frac{\partial}{\partial y} (K_y \frac{\partial \bar{C}}{\partial y}) \quad (5)$$

式(5)は次のようない仮定の下で噴流内の気泡の拡散に適用できる。
① 気泡の存在が流れに影響を及ぼさないこと
② 気泡の浮上運動を無視できること。
③ については主流速度場 U に気泡の存在する噴流の速度場を用いて
④ については気泡上昇速度に比べて主流速度の小さい噴流端部附近を除くことによつて式(5)を適用する。

式(5)を右図のようにメッシュを刻み前進差分式を導くと

$$C_{i+1,j} = C_{i,j} + \left\{ \frac{2\Delta x_i}{D_{i,j}} (\Delta y_i + \Delta y_{j-1}) \right\} \\ \times [K_{i,j+\frac{1}{2}} (C_{i,j+1} - C_{i,j}) / \Delta y_i - K_{i,j-\frac{1}{2}} (C_{i,j} - C_{i,j-1}) / \Delta y_{j-1}] \quad (6)$$

ここに D は $D = D_0 \times \text{const.} \times \sqrt{B/x} \times \exp\{-K(y/x)^2\}$ である。

const. は実験の結果から 2.52 とし、 K は気泡混入噴流 B-C 領域に対するものとして 40 を与えた。又乱流拡散係数は渦動粘性係数 $\epsilon = l \sqrt{u'^2}$ から類推し又 $\sqrt{\epsilon} \approx \sqrt{u'^2}$ より $K_y = 2l \sqrt{u'^2}$ とした。 l は混合距離であり $l = 0.013 B_0$ とした。

以上のように流速分布と乱流拡散係数を置けるのは B-C 領域があるので数値計算の初期条件として、ボテンシャルコアの終端断面上に相当する $y = 6.35 B_0$ の断面に三角及び矩形分布で欠損密度プロファイルを与えた。

このような条件で東北大学大型計算センター NEAC 2200 モデル 500 で数値計算を行なった結果を図 6 ~ 8 に示す。

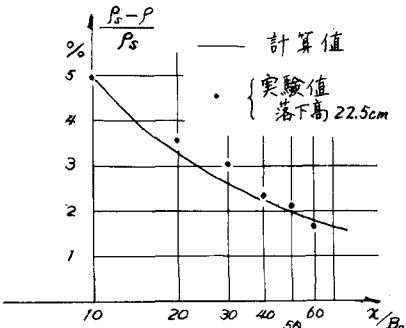
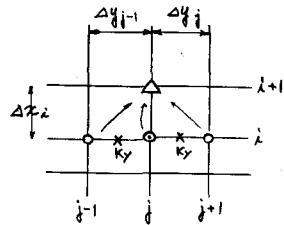


図 6 中心軸上の気泡濃度低減

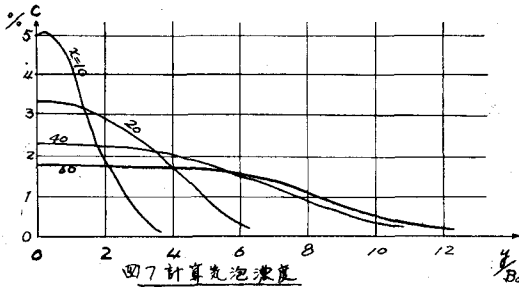


図 7 計算初期泡濃度

4 結論

図(6)に示した中心軸上気泡濃度が原点から離れるに従って減衰してゆくようすでは、ここに示した x/B_0 の範囲で計算値と実験値とが比較的良く

一致していることが示されてい。図(7)の漸面上での気泡分布を無次元化して図(8)に示してある。これによれば気泡濃度プロファイルについても相似性が認められるようである。これをガウス分布と假定すれば、式(2)に含まれる定数 μ は $\mu = 0.53$ となる。実験値とは中心付近の分布形がかなり異なっている。

噴流中の気泡は、その濃度が必ずしも微少と言えず又浮上運動があつてそのためからず、拡散係数を適切に与える適用限界を $30 < 60$ $y/x < 0.3$ 程度に限れば、拡散方程式が適用されることがわかった。

実験に際して東北大学技官印花政彦氏の助言協力を頂いたことを付記し感謝の意を表します。

参考文献

- 1) 安芸周一「自由落下水脈の水ツツジョン効果に関する研究」昭44 電力中研 研究報告 69009
- 2) 坂本ほか「自由落下水による空気混入の実験的研究」昭45 土木学会東北支部技術研究委員会構造概要